

# ГЕЛИОСФЕРНАЯ МОДУЛЯЦИЯ ИНТЕНСИВНОСТИ КОСМИЧЕСКИХ ЛУЧЕЙ ВЫСОКИХ ЭНЕРГИЙ. I. БАЗОВАЯ МОДЕЛЬ МОДУЛЯЦИИ КОСМИЧЕСКИХ ЛУЧЕЙ С ЦИКЛОМ СОЛНЕЧНОЙ АКТИВНОСТИ

*Г. Ф. Крымский, П. А. Кривошапкин, В. П. Мамрукова, С. К. Герасимова\**

*Институт космофизических исследований и астрономии им. Ю. Г. Шафера  
Сибирского отделения Российской академии наук  
677980, Якутск, Россия*

Поступила в редакцию 19 июня 2006 г.

Построена максимально упрощенная теория модуляции интенсивности космических лучей высоких энергий в гелиосфере, в которой не используется никаких подгоночных параметров. Единственный параметр  $k$ , характеризующий степень регулярности межпланетного магнитного поля, меняется в модели определенным образом с фазой солнечного цикла. Используемые приближения приводят к решениям, выражающимся в элементарных функциях. Выявлена роль магнитного дрейфа частиц. Достигнуто количественное согласие с наблюдаемыми вариациями космических лучей.

PACS: 96.50.S-, 96.50.Xy, 96.60.Q-

## 1. ВВЕДЕНИЕ

Вариации интенсивности космических лучей (ИКЛ) с циклом солнечной активности — 11-летние вариации — наиболее выраженный эффект воздействия солнечного ветра, который был обнаружен в первый период наблюдений КЛ. По мере накопления данных было замечено, что картина этих вариаций периодически меняется — в четных и нечетных циклах солнечной активности КЛ ведут себя по-разному. Это свойство сразу же было отнесено к переполусовкам солнечного магнитного поля, которые происходят в каждом солнечном цикле. Особенно ярко этот эффект проявил себя в 1970 г, когда вариации ИКЛ низких и высоких энергий обнаружили разное поведение и этот период совпал с переполусовкой общего магнитного поля Солнца [1] (см. также [2]). С учетом этого обстоятельства стало принято говорить о 22-летних вариациях ИКЛ [3, 4]. Обзоры соответствующих работ приведены в [5, 6].

Механизм влияния полярности магнитного поля стал проясняться, когда были привлечены представления о магнитном дрейфе частиц КЛ [6]. Это

было сделано с целью объяснить 22-летние изменения анизотропии КЛ. Теория магнитного дрейфа в вариациях ИКЛ была развита в работах Джокипи и соавторов [7–10]. Детальное изучение дрейфовых эффектов было предпринято в работе [11]. В работах [12–14] изучены многочисленные связи вариаций КЛ с изменяющимися в солнечном цикле параметрами солнечного ветра и магнитного поля.

Современная картина 22-летних вариаций базируется на представлениях о магнитном дрейфе. Однако она отягощена большим количеством деталей и подробностей. В результате не всегда ясно, какие именно черты обусловлены явлением дрейфа.

В предлагаемой работе ставится задача создать максимально упрощенную теорию 22-летних вариаций, по возможности избавленную от каких-либо подгоночных параметров и основанную на подходящих приближениях с целью избежать громоздких численных расчетов.

## 2. УРАВНЕНИЕ ПЕРЕНОСА. КОЭФФИЦИЕНТЫ ПЕРЕНОСА

Первым уравнением, описывающим перенос КЛ, было уравнение диффузии [15], следующим прибли-

\*E-mail: s.k.gerasimova@ikfia.ysn.ru

жением стало уравнение «газовой атаки» [16], в котором учтена конвекция частиц, однако не учитывалось адиабатическое изменение их энергии. В работах [17, 18] это было сделано введением четвертой «оси», вдоль которой изменялась энергия и возникал поток частиц вследствие расширения солнечного ветра. Там же вводился тензор диффузии частиц, в котором находила отражение роль регулярной составляющей магнитного поля.

Если предполагать, что частицы подвергаются точечным изотропным рассеяниям в регулярном поле, то для этого тензора можно записать выражение (см., например, [19])

$$\kappa_{\alpha\beta} = \kappa_{\parallel} h_{\alpha} h_{\beta} + \kappa_{\perp} (\delta_{\alpha\beta} - h_{\alpha} h_{\beta}) + \kappa_H h_{\gamma} e_{\alpha\beta\gamma},$$

где

$$\kappa_{\parallel} = v^2 \tau / 3, \quad \kappa_{\perp} = \frac{\kappa_{\parallel}}{1+k^2}, \quad \kappa_H = \frac{\kappa_{\parallel} k}{1+k^2}, \quad k = \omega \tau,$$

$h_{\alpha,\beta,\gamma}$  — компоненты единичного вектора регулярного магнитного поля,  $\delta_{\alpha\beta}$  — единичный тензор,  $e_{\alpha\beta\gamma}$  — абсолютно антисимметричный единичный тензор,  $v$  — скорость частиц,  $\tau$  — среднее время между рассеяниями,  $\omega$  — гирочастота частиц КЛ в регулярном магнитном поле.

Параметр  $k = \omega \tau$  (его можно назвать степенью регулярности магнитного поля) является ключевым для описания процесса модуляции. Первое упрощение касается поведения параметра  $k$ : он предполагается постоянным для всей гелиосферы и независимым от энергии частиц, хотя и меняется с циклом солнечной активности.

Антисимметричная часть тензора диффузии, порождаемая векторным произведением и описываемая так называемую холловскую диффузию с коэффициентом

$$\kappa_H = \frac{v^2 \tau}{3} \frac{k}{1+k^2},$$

может быть выделена в отдельный член. Холловский коэффициент диффузии определим через импульс частиц  $p$  и напряженность магнитного поля  $H$ :

$$\kappa_H = \frac{v}{3} \frac{k^2}{k^2+1} \frac{pc}{eH}.$$

Член уравнения переноса, содержащий холловскую диффузию, преобразуем к символической векторной форме и используем свойство смешанного произведения векторов:

$$\begin{aligned} \operatorname{div}(\kappa_H [\operatorname{grad} f \mathbf{h}]) &= \frac{v}{3} \frac{k^2}{k^2+1} \frac{pc}{e} \nabla \left[ \nabla f \times \frac{\mathbf{H}}{H^2} \right] = \\ &= -\mathbf{u}_{dr} \operatorname{grad} f, \end{aligned}$$

где  $f$  — функция распределения частиц, зависящая от пространственных координат и импульсов частиц, а

$$\mathbf{u}_{dr} = \frac{v}{3} \frac{k^2}{k^2+1} \frac{pc}{e} \operatorname{rot} \frac{\mathbf{H}}{H^2}$$

имеет смысл дрейфовой скорости.

Уравнение переноса в дрейфовой форме содержит только симметричный тензор диффузии, который будем обозначать как  $\tilde{\kappa}$ :

$$\begin{aligned} \frac{\partial f}{\partial t} &= \operatorname{div}(\tilde{\kappa} \operatorname{grad} f) - \\ &- (\mathbf{u} + \mathbf{u}_{dr}) \operatorname{grad} f + \frac{1}{3} \operatorname{div} \mathbf{u} p \frac{\partial f}{\partial p}. \end{aligned} \quad (1)$$

Такая форма уравнения с выделенным дрейфовым членом, по-видимому, была впервые использована в работе [7].

Сделаем несколько замечаний о дрейфовой скорости  $\mathbf{u}_{dr}$ . Эта скорость отражает дрейф частиц в неоднородном магнитном поле. При наличии магнитных неоднородностей скорость дрейфа понижается и лишь при  $k \gg 1$  она совпадает со скоростью истинного дрейфа. При смене знака магнитного поля обращается направление дрейфа частиц, и это представляется очень важным, поскольку межпланетное магнитное поле периодически испытывает переполусовки.

Модуляция галактических КЛ может рассматриваться в линейном по скорости ветра приближении. Такой подход дает удовлетворительную точность при описании вариаций ИКЛ, наблюдаемых с помощью нейтронных мониторов и других детекторов, чувствительных к более высоким энергиям.

Проверка на простой модели показывает, что линейное приближение дает удовлетворительную точность, даже когда глубина модуляции достигает 20–30%. Поэтому будем считать скорость ветра малым параметром. В соответствии с этим функцию распределения будем представлять как сумму варьированной и неварьированной частей. Неварьированную часть обозначим как  $f_0$ , а для варьированной части сохраним обычное обозначение  $f$ . Линеаризация уравнения переноса (1) по  $\mathbf{u}$  в стационарном случае дает

$$\nabla(\tilde{\kappa} \nabla f) - \mathbf{u}_{dr} \nabla f = \frac{2(\gamma+2)}{3} \frac{u_0}{r} f_0. \quad (2)$$

Член в правой части обусловлен дивергенцией скорости солнечного ветра, которая равна  $2u_0/r$ , а зависимость  $f_0$  от импульса представляется степенной с показателем, равным  $-(\gamma+2)$ .

### 3. УРАВНЕНИЕ ПЕРЕНОСА В МЕЖПЛАНЕТНОМ МАГНИТНОМ ПОЛЕ

Общее магнитное поле Солнца, «вмороженное» в плазму солнечного ветра, выносится на большие расстояния как межпланетное поле. Так как радиальная компонента поля диполя обращается в нуль в экваториальной плоскости, имеется гелиоширотный градиент магнитного давления, стремящийся отклонить радиальный поток в сторону экваториальной плоскости так, чтобы напряженность радиального поля была однородно распределена по гелиошироте. Расчеты и наблюдения показывают, что однородное распределение магнитного поля является хорошим приближением.

Вращение Солнца с угловой скоростью  $\omega_{\odot}$  приводит к появлению азимутальной компоненты поля. В системе отсчета, вращающейся вместе с Солнцем, скорость имеет азимутальную компоненту

$$u'_{\varphi} = -\omega_{\odot} r \sin \theta,$$

где  $\theta$  — полярный угол, отсчитываемый от оси вращения к югу. Соответственно, магнитное поле имеет такое же соотношение компонент как и скорость, поскольку в этой системе отсчета плазма течет вдоль магнитного поля. Поэтому имеем

$$H_{\varphi} = -H_r \frac{\omega_{\odot} r \sin \theta}{u_0}.$$

В качестве масштаба длины  $r_0$  удобно выбрать отношение  $u_0 / \omega_{\odot}$ , тогда на расстоянии  $r_0$  азимутальная компонента поля в экваториальной плоскости и радиальная компонента равны между собой и будут обозначаться как  $H_0$ . При скорости солнечного ветра  $u_0$ , равной 400 км/с, величина  $r_0$  приблизительно равна 1 астр. ед. Таким образом, магнитное поле во всей области сверхзвукового ветра представляется выражениями

$$H_r = H_0 \frac{r_0^2}{r^2} \operatorname{sign} \left( \frac{\pi}{2} - \theta \right),$$

$$H_{\varphi} = -H_0 \frac{r_0}{r} \sin \theta \operatorname{sign} \left( \frac{\pi}{2} - \theta \right).$$

Здесь предполагается, что магнитный момент диполя и вращательный момент Солнца параллельны, в силу чего радиальная компонента поля положительна в северном полушарии ( $\theta < \pi/2$ ) и отрицательна в южном. Каждые 11 лет в максимуме очередного цикла солнечной активности полярность магнитного поля меняется, поэтому надо менять знак магнитного поля в расчетных формулах.

В большей части гелиосферы радиальное магнитное поле может считаться пренебрежимо малым. Радиальная компонента имеет значение лишь при  $r < (2-3)r_0$ . Естественно, крупномасштабная картина модуляции будет определяться «дальней зоной», где поле чисто азимутальное.

Выражения для коэффициентов диффузии и скоростей дрейфа для дальней зоны представляются выражениями

$$\kappa_{rr} = \kappa_{\theta\theta} = \kappa_{\perp} = \frac{vr_0}{3} \frac{p}{p_0} \frac{k}{k^2 + 1} \frac{r}{r_0 \sin \theta}, \quad (3)$$

$$u_r = v \frac{p}{p_1} \delta \left( \theta - \frac{\pi}{2} \right), \quad u_{\theta} = v \frac{p}{p_1} \frac{\operatorname{sign} \left( \frac{\pi}{2} - \theta \right)}{\sin \theta}. \quad (4)$$

Здесь импульс равен

$$p_1 = \frac{3k^2 + 1}{2} \frac{k^2}{k^2} p_0, \quad p_0 = \frac{eH_0 r_0}{c}. \quad (5)$$

Дельта-функция обусловлена наличием токового слоя в экваториальной плоскости и появляется при формальном дифференцировании разрывного множителя. Характерный масштаб для импульса  $p_0$  получим, если примем скорость солнечного ветра равной 400 км/с и напряженность магнитного поля на орбите Земли около  $5 \cdot 10^{-5}$  Э. При таких параметрах  $r_0 = R_e = 1.5 \cdot 10^{13}$  см,  $H_0 = 3 \cdot 10^{-5}$  Э и  $p_0 \approx 150$  ГэВ/с. Если принять  $k^2 \gg 1$ , то для энергии  $\sim 15$  ГэВ, которая близка к эффективной энергии частиц, регистрируемой нейтронными мониторами, типичная величина скорости дрейфа составит 20000 км/с, что почти на два порядка больше скорости солнечного ветра. С ростом энергии частиц эта цифра будет еще больше.

Следует обратить внимание, что коэффициент диффузии и скорость дрейфа обращаются в бесконечность на оси симметрии. Физически это связано с тем, что напряженность магнитного поля здесь чрезвычайно мала. В принятом нами приближении она формально обращается в нуль.

Следовательно, уравнение переноса (2) в дальней зоне приобретает вид

$$\frac{1}{r^2} \frac{\partial}{\partial r} \left( r^2 \kappa_{\perp} \frac{\partial f}{\partial r} \right) + \frac{1}{r^2 \sin \theta} \frac{\partial}{\partial \theta} \left( \sin \theta \kappa_{\perp} \frac{\partial f}{\partial \theta} \right) - u_r \frac{\partial f}{\partial r} - u_{\theta} \frac{1}{r} \frac{\partial f}{\partial \theta} = \frac{b}{r},$$

где

$$b = 2(\gamma + 2)u_0 f_0 / 3.$$

Подставим в уравнение выражения для коэффициентов переноса (3), (4), разделим уравнение на  $vp/p_1$  и умножим на  $r \sin \theta$ , после чего оно приобретает простой вид

$$\frac{1}{2k} \frac{1}{r} \frac{\partial}{\partial r} \left( r^3 \frac{\partial f}{\partial r} \right) + \frac{1}{2k} \frac{\partial^2 f}{\partial \theta^2} - r \frac{\partial f}{\partial r} \delta \left( \theta - \frac{\pi}{2} \right) - \frac{\partial f}{\partial \theta} \operatorname{sign} \left( \frac{\pi}{2} - \theta \right) = b_1 \sin \theta, \quad (6)$$

$$b_1 = \frac{2(\gamma + 2)}{3} \frac{u_0}{v} \frac{p_1}{p} f_0. \quad (7)$$

Уравнение (6) можно привести к еще более удобному виду, если ввести гелиошироту  $\psi = \pi/2 - \theta$  и переменную  $\lambda = -\ln(r/R)$ , где  $R$  — радиус гелиосферы:

$$\frac{1}{2k} \Delta f - \frac{1}{k} \frac{\partial f}{\partial \lambda} + \frac{\partial f}{\partial \lambda} \delta(\psi) + \frac{\partial f}{\partial |\psi|} = b_1 \cos \psi. \quad (8)$$

Здесь оператор Лапласа действует на переменные  $\lambda, \psi$  как на декартовы координаты.

#### 4. ГЕЛИОПАУЗА

Сверхзвуковой ветер имеет динамическое давление, которое вследствие радиального расширения квадратично убывает с расстоянием. На орбите Земли типичные параметры ветра следующие: концентрация частиц  $n_0 = 8$  частиц/см<sup>3</sup>, скорость  $u_0 = 400$  км/с. Так как основной состав ветра — протоны (масса  $1.7 \cdot 10^{-24}$  г), типичное динамическое давление ветра составляет  $\rho v^2 = 2 \cdot 10^{-8}$  дн/см<sup>2</sup>.

Плотность энергии КЛ, а также других компонент межзвездной среды по порядку величины равна  $1$  эВ/см<sup>3</sup>, что соответствует давлению порядка  $10^{-12}$  дн/см<sup>2</sup>. Следовательно, на расстоянии порядка 100 астр. ед. солнечный ветер должен претерпевать ударный переход и становиться дозвуковым. Приближенно можно считать, что модулирующее действие солнечного ветра на этом расстоянии прекращается. Указанная граница сверхзвукового ветра носит название гелиопаузы.

Модуляция ИКЛ в гелиосфере зависит от условий на гелиопаузе. Сегодня при отсутствии точных знаний о гелиопаузе формулировать краевые условия приходится с использованием модельных представлений. Наличие крупномасштабного электрического поля в гелиосфере свидетельствует о том, что разные области гелиосферы имеют разный потенциал по отношению к внешней среде.

Рассматривая гелиопаузу в первом приближении как границу гелиосферы, мы приходим к заключению, что на ней происходит скачок потенциала

$$\Delta U = -\frac{uH_0 r_0}{c} (\sin |\psi| + C).$$

Если предположить, что гелиосфера в целом нейтральна, то  $C = -1/2$ .

В случае положительной полярности магнитного поля потенциал низкоширотной гелиосферы положителен. В этом случае гелиосферу для краткости будем называть положительно заряженной. Переполюсовка магнитного поля приводит к смене знака потенциалов.

На рис. 1 в виде полукруга представлен меридиональный разрез дальней зоны гелиосферы в период положительной полярности. Изображены векторы скорости солнечного ветра, магнитного и электрического полей. Указано распределение электрического потенциала, который достигает максимальной величины в плоскости гелиоэкватора и вблизи оси вращения Солнца. Числовое значение потенциала соответствует скорости солнечного ветра 400 км/с и напряженности магнитного поля на орбите Земли, равной  $5 \cdot 10^{-5}$  Гс.

Модуляция ИКЛ электростатическим полем может быть вычислена с помощью уравнения Лиувилля, которое в нашем случае будет иметь вид

$$v \frac{\partial f}{\partial \mathbf{r}} + e \mathbf{E} \frac{\partial f}{\partial p} = 0.$$

Так как  $\mathbf{E} = -\nabla U$ , а  $v = \partial \varepsilon / \partial p$ , общим интегралом этого уравнения является

$$f_0(p) + f(\mathbf{r}, p) = F(\varepsilon + eU).$$

Полагая функцию распределения за пределами области модуляции равной

$$f_0 = B p^{-(\gamma+2)},$$

получаем

$$f = B \left[ \left( \frac{\varepsilon + eU}{c} \right)^2 - (mc)^2 \right]^{-(\gamma+2)/2} - B p^{-(\gamma+2)} \approx -(\gamma+2) \frac{eU\varepsilon}{(pc)^2} f_0.$$

Последнее приближенное равенство справедливо при  $p \gg eU/c$ . Следовательно, например, при энергии 10 ГэВ электростатическая модуляция составляет примерно  $\pm 5\%$  и должна учитываться в расчетах.

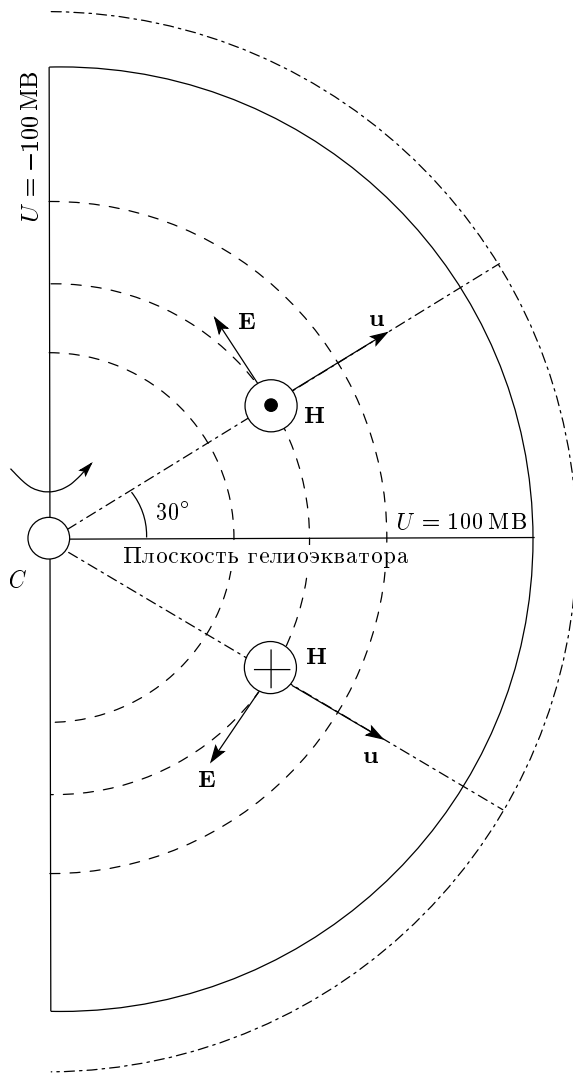


Рис. 1. Электромагнитное поле в дальней зоне гелиосферы. *C* — Солнце, *u* — скорость солнечного ветра, *H*, *E* — напряженности магнитного и электрического полей. Штрихи — силовые линии электрического поля. Штрих-пунктир линия — поверхность нулевого потенциала.  $U = \pm 100$  MB — потенциал в плоскости экватора и на оси вращения Солнца. Сплошная полуокружность — гелиопауза (граница гелиосферы)

### 5. КРАЕВЫЕ УСЛОВИЯ

Если потребовать, чтобы функция распределения зависела от модуля гелиошироты, то для второй производной получим выражение

$$\frac{\partial^2 f}{\partial \psi^2} = \frac{\partial}{\partial \psi} \left( \frac{\partial f}{\partial |\psi|} \text{sign} \psi \right) = \frac{\partial^2 f}{\partial |\psi|^2} + 2 \frac{\partial f}{\partial |\psi|} \delta(\psi).$$

Следовательно, опуская знак модуля  $\psi$  в области  $0 \leq \psi \leq \pi/2$ , получаем вместо (8) уравнение модуляции для дальней зоны

$$\frac{1}{2k} \Delta f - \frac{1}{k} \frac{\partial f}{\partial \lambda} + \frac{\partial f}{\partial \psi} = b_1 \cos \psi, \tag{9}$$

а при  $\psi = 0$  имеем краевое условие

$$\frac{1}{k} \frac{\partial f}{\partial \psi} + \frac{\partial f}{\partial \lambda} = 0, \tag{10}$$

вытекающее из необходимости взаимного погашения сингулярных членов.

Краевое условие на гелиопаузе ( $\lambda = 0$ ) определяется поведением электрического потенциала:

$$f = b_1 \frac{k^2}{k^2 + 1} \left( -\frac{1}{2} + \sin \psi \right). \tag{11}$$

Здесь  $f$  является варьируемой частью, и для полного описания необходимо добавлять невозмущенную часть  $f_0$ .

В этом краевом условии амплитуда, зависящая от напряженности межпланетного магнитного поля, скорости солнечного ветра и импульса частиц, для удобства выражена через тот же самый параметр  $b_1$ , который введен выше. При  $\psi = \pi/2$  из-за бесконечной величины коэффициента диффузии функция распределения постоянна и равна

$$f|_{\psi=\pi/2} = \frac{b_1}{2} \frac{k^2}{k^2 + 1}. \tag{12}$$

Таким образом, уравнение (9) и три краевых условия (10), (11) и (12) определяют поведение функции  $f$  в полосе  $\lambda \geq 0, 0 \leq \psi \leq \pi/2$ . Изменение уравнения и краевых условий при переходе к отрицательно заряженной гелиосфере осуществляется одновременным изменением знака  $k$  и  $p_0$  (и, соответственно,  $p_1$  и  $b_1$ ).

Если целью вычислений является нахождение модуляции вблизи орбиты Земли, то мы имеем точку ( $\lambda \approx 4.6, \psi = 0$ ), в окрестности которой нам нужно определить поведение функции распределения. Эта точка отстоит от границ области, соответственно, на 4.6 и  $\pi/2$  безразмерных единиц. Эти расстояния одного порядка, и влияние той или иной границы критическим образом зависит от величины и направления дрейфа частиц.

При положительной гелиосфере дрейф направлен к плоскости экватора и вдоль нее наружу. Поэтому основное влияние оказывает высокоширотная граница  $\psi = \pi/2$ . При отрицательной полярности

противоположное направление дрейфа частиц перебивает влияние высокоширотной границы и необходимо учитывать условия на гелиопаузе. Лишь при  $k < 1$ , когда дрейф невелик, высокоширотная граница будет давать вклад в решение при отрицательной гелиосфере.

## 6. ПОЛОЖИТЕЛЬНО И ОТРИЦАТЕЛЬНО ЗАРЯЖЕННАЯ НИЗКОШИРОТНАЯ ГЕЛИОСФЕРА

При положительно заряженной гелиосфере, пренебрегая влиянием гелиопаузы, находим решение  $f_g(\psi)$ , не зависящее от  $\lambda$ . Оно находится двумя последовательными интегрированиями по  $\psi$  линейного уравнения (9), а постоянные интегрирования определяются из условий при  $\psi = 0$  и  $\psi = \pi/2$ :

$$f_g(\psi) = \frac{2kb_1}{4k^2 + 1}(2k \sin \psi - \cos \psi - 2k) + \frac{2kb_1}{4k^2 + 1}(e^{-2k\psi} - e^{-k\pi}) + \frac{b_1}{2} \frac{k^2}{k^2 + 1}. \quad (13)$$

В плоскости экватора эта функция равна

$$f_g^+(0) = -\frac{4k^2b_1}{4k^2 + 1} - \frac{2kb_1}{4k^2 + 1}e^{-k\pi} + \frac{b_1}{2} \frac{k^2}{k^2 + 1}. \quad (14)$$

В случае отрицательной полярности решение, не зависящее от  $\lambda$ , формально тоже существует, оно получается заменой знака  $k$  и  $b_1$  и для экваториальной плоскости имеет вид

$$f_g^-(0) = \frac{4k^2b_1}{4k^2 + 1} - \frac{2kb_1}{4k^2 + 1}e^{k\pi} - \frac{b_1}{2} \frac{k^2}{k^2 + 1}. \quad (15)$$

Видно, что глубина модуляции получается очень большой. Как уже указывалось, причиной этого является дрейф в обе стороны от экваториальной плоскости. Поэтому необходимо учитывать влияние гелиопаузы. Если ограничиться не слишком малыми  $k$ , то влиянием высокоширотной границы можно пренебречь и рассматривать поведение функции на низких гелиоширотах, где  $\sin \psi \approx \psi$ ,  $\cos \psi \approx 1$ .

Уравнение (здесь принято  $k > 0$ ,  $b_1 > 0$ , изменен знак у  $\partial f / \partial \psi$ )

$$\frac{1}{2k} \Delta f - \frac{1}{k} \frac{\partial f}{\partial \lambda} - \frac{\partial f}{\partial \psi} = b_1$$

с краевыми условиями

$$\frac{1}{k} \frac{\partial f}{\partial \psi} - \frac{\partial f}{\partial \lambda} = 0|_{\psi=0},$$

$$f = b_1 \frac{k^2}{k^2 + 1} (1/2 - \psi)|_{\lambda=0}$$

в этом случае имеет простое решение:

$$f = f_l = b_1 \frac{k^2}{k^2 + 1} \left( \frac{1}{2} - |\psi| - \frac{\lambda}{k} \right). \quad (16)$$

Здесь восстановлен знак модуля  $\psi$ . Следует обратить внимание, что функция  $f$  симметрична относительно экваториальной плоскости, а ее производная по  $\psi$  терпит разрыв при  $\psi = 0$ , так что поведение  $f$  имеет «клинообразный» характер.

## 7. 22-ЛЕТНИЙ ЦИКЛ

Смена полярности общего поля Солнца и, соответственно, межпланетного магнитного поля в периоды максимумов солнечной активности имеет своим следствием несоответствие характера модуляции КЛ в двух последовательных 11-летних циклах. Полным циклом модуляции КЛ является, следовательно, 22-летний цикл.

Модуляция ИКЛ в периоды положительной полярности описывается формулой (14), а для отрицательной должна быть использована формула (15).

При высоком уровне турбулентности (при  $k^2 \ll 1$ ), необходимо учитывать оба канала поступления частиц: вдоль экваториальной плоскости (решение (16)) и с высоких широт (решения (14) и (15)). В общем случае с достаточной точностью их совместное действие можно описать формулой

$$f(k) = \frac{f_l(0)f_g(0)}{f_l(0) + f_g(0)}.$$

Для того чтобы нарисовать теоретическую картину модуляции, максимально упростим предположения о связи параметра  $k$  с фазой 11-летнего цикла. Фазой цикла  $\phi$  будем считать величину, меняющуюся от 0 в минимуме солнечной активности до 1 в максимуме и обратно от максимума до минимума. Фаза по определению линейно меняется со временем в каждом упомянутом временном отрезке. Переполусовка магнитного поля происходит в момент максимума цикла при  $\phi = 1$ . Промежуток роста солнечной активности положим равным 4.5 года, а падения — 6.5 лет.

Следующее предположение:  $k$  однозначно связано с фазой, а величина  $k$  отражает соотношение между напряженностями регулярного  $H_0$  и турбулентного  $H_t$  полей:

$$k = H_0 / H_t.$$

Предположим, что напряженность турбулентного

поля достигает максимума в момент переполюсовки и линейно зависит от фазы цикла:

$$H_t = H_{obs} (\phi + 1/k_0).$$

Малая добавка  $1/k_0$  определяет остаточный уровень турбулентности в минимуме солнечной активности. Наблюдаемое поле  $H_{obs}$ , являющееся суммой регулярного и турбулентного полей, будем считать постоянным в течение всего цикла. Реальное поле претерпевает изменения в цикле, но они значительно меньше тех изменений, которые характеризуют регулярное и турбулентное поля в отдельности. Таким образом,

$$H_{obs} = \sqrt{H_0^2 + H_t^2} = \text{const.}$$

Из сказанного вытекает, что регулярное поле в период максимума много меньше турбулентного поля.

В итоге параметр  $k$  зависит от фазы следующим образом:

$$k = \frac{\sqrt{1 - \phi^2}}{\phi + 1/k_0}$$

и изменяется в пределах  $0 < k < k_0$ .

Расчет модуляции КЛ проведем в нескольких вариантах, предполагая разный уровень остаточной турбулентности в период минимума и соответственно меняя верхний предел  $k_0$ .

В соответствии со сделанными предположениями напряженность поля  $H_0$ , входящая в выражения (5) и (7) для  $p_0$ ,  $p_1$  и  $b_1$ , становится зависящей от времени, поэтому постоянную  $b_1$  надо умножить на дополнительный поправочный множитель

$$\eta = \sqrt{1 - \phi^2}.$$

Результаты расчета модуляции для частиц с энергией 13 ГэВ, сделанного в рамках указанных упрощенных условий для значений  $k_0$ , равных 3, 5 и 10, представлены на рис. 2. Предполагалось, что Земля находится в плоскости солнечного экватора. Для удобства обозрения представлена картина модуляции за два последовательных 22-летних цикла. На этом же рисунке представлена интенсивность нейтронной компоненты КЛ. Эти данные взяты из работы [20]. Они были получены из наблюдений интенсивности КЛ на горе Клаймакс за почти 50-летний период.

Видно, что 11-летние циклы модуляции существенно отличаются один от другого. Циклы с переполюсовкой с «плюса» на «минус» (нечетные циклы

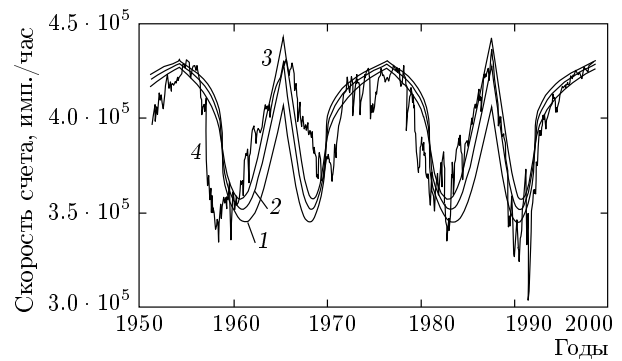


Рис. 2. 22-летняя вариация интенсивности КЛ. Кривые 1, 2, 3 — ожидаемая интенсивность для значений отношений напряженностей регулярного и турбулентного поля  $k_0 = 3, 5$  и  $10$ , соответственно. Кривая 4 — наблюдаемая интенсивность нейтронной компоненты КЛ на станции Клаймакс

солнечной активности) имеют более длительный период понижения интенсивности КЛ (широкий минимум), а последующее восстановление интенсивности более кратковременно (острый пик), чем в следующих за ними циклах.

Широкий минимум интенсивности обусловлен тем, что после переполюсовки интенсивность продолжает понижаться, хотя уровень турбулентности уже снижается. Причиной этого запаздывания является дрейф КЛ от экватора к высоким широтам при отрицательной полярности общего магнитного поля Солнца. Этот дрейф препятствует поступлению КЛ с высоких широт, он появляется после максимума активности, когда параметр  $k$  достигает достаточно большой величины.

При дальнейшем снижении уровня турбулентности (росте  $k$ ) появляется вклад КЛ, дрейфующих в плоскости экватора от границы гелиосферы. Этот вклад по мере роста приводит к восстановлению интенсивности.

«Плоский» максимум интенсивности при положительной полярности гелиосферы также связан с дрейфом, который в этом случае направлен с высоких широт к экватору.

Если уровень остаточной турбулентности в минимуме солнечной активности не слишком велик ( $k_0 \gtrsim 10$ ), то максимальная интенсивность (вершина острого пика) больше, чем у КЛ в отсутствие модуляции. Это обусловлено действием электрического поля гелиосферы, как уже упоминалось. При большом уровне остаточной турбулентности ( $k_0 \lesssim 3$ ) острый пик сильно подавлен, как это видно из рисунка.

Сравнение приведенных расчетов с наблюдениями показывает общее соответствие наблюдаемой и вычисленной интенсивностей как по форме кривой, так и по величине. Следует подчеркнуть, что теория не имеет подгоночных параметров, а единственный варьируемый параметр наилучшим образом соответствует наблюдениям при значении  $k_0 \gtrsim 5$ .

### 8. ЗАКЛЮЧИТЕЛЬНЫЕ ЗАМЕЧАНИЯ

Полученные решения являются основой для количественного сопоставления экспериментальных данных с теоретическими представлениями о вариациях ИКЛ с циклом солнечной активности. Соответствующая теория, базирующаяся на тех же предположениях, может быть построена для анизотропии КЛ в той же области энергий. Простота теории позволяет считать ее базовой теорией модуляции ИКЛ, в которую должны вноситься модификации по мере накопления экспериментальных данных. Отталкиваясь от этого, можно уточнять представления о динамических процессах в гелиосфере.

Работа выполнена при поддержке РФФИ (грант № 05-02-16954-а), программ Президиума РАН № 6 и № 16, комплексного интеграционного проекта СО РАН № 3.10.

### ЛИТЕРАТУРА

1. А. Н. Чарахчян, Г. А. Базилевская, А. К. Свиржевская и др., Изв. АН СССР, сер. физ. **33**, 1258 (1973).
2. Н. S. Ahluwalia, JGR **110**, A10106 (2005).
3. К. Nagashima, К. Fujimoto, and R. Tatsuoka, Planet. Space Sci. **39**, 1617 (1991).
4. М. Storini, Nuovo Cimento C **20**, 871 (1997).
5. L. I. Dorman, *Cosmic Rays in the Earth's Atmosphere and Underground*, Kluwer Academic Publishers, Dordrecht/Boston/London (2005).
6. E. H. Levy, JGR **81**, 2082 (1976).
7. J. R. Jokipii, E. H. Levy, and W. B. Hubbard, Astrophys. J. **213**, 861 (1977).
8. J. R. Jokipii and B. Thomas, Astrophys. J. **243**, 1115 (1981).
9. J. Kota and J. R. Jokipii, Astrophys. J. **265**, 573 (1983).
10. J. Kota and J. R. Jokipii, Space Sci. Rev. **98**, 327 (2001).
11. M. S. Potgieter, R. A. Burger, and S. E. S. Ferreira, Space Sci. Rev. **97**, 295 (2001).
12. G. A. Bazilevskaya, M. B. Kraynev, Yu. I. Stozhkov et al., J. Geomag. Geoelectr. Suppl. **43**, 893 (1991).
13. A. V. Belov, R. T. Gushchina, and V. G. Yanke, in *Proc. 25th Int. Cosmic Ray Conf.* (1999), Vol. 7, p. 175.
14. Н. S. Ahluwalia, Geophys. Res. Lett. **30**, 1133 (2003).
15. В. Л. Гинзбург, С. И. Сыроватский, *Происхождение космических лучей*, Изд-во АН СССР, Москва (1963).
16. E. N. Parker, Phys. Rev. **110**, 1445 (1958).
17. Г. Ф. Крымский, Геомагнетизм и аэрномия **4**, 977 (1964).
18. E. N. Parker, Planet. Space Sci. **13**, 9 (1965).
19. Г. Ф. Крымский, А. И. Кузьмин, П. А. Кривошапкин и др., *Космические лучи и солнечный ветер*, Наука, Новосибирск (1981).
20. J. R. Jokipii and J. Kota, in *Proc. 25th Int. Cosmic Ray Conf.* (1997), Vol. 8, p. 151.